

Master ER&S Université Mohammed V

### **FLAMANT** Gilles

PROMES-CNRS

Gilles.flamant@promes.cnrs.fr



### Sommaire

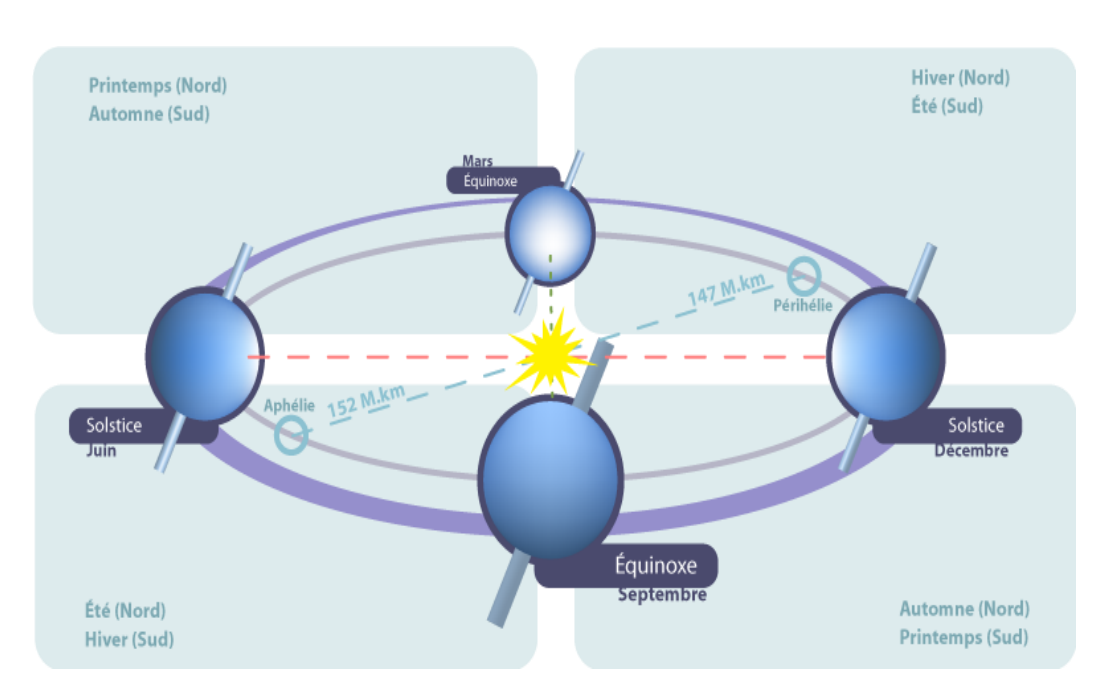
### **RESSOURCE SOLAIRE**

- Eclairement solaire sur terre
- Les différentes mesures de la ressource
- Ressource en rayonnement direct

### **CONCENTRATION**

- Définition
- Concentration maximale théorique
- Miroirs (défauts et erreurs)
  - Logiciels

La ressource solaire sur terre



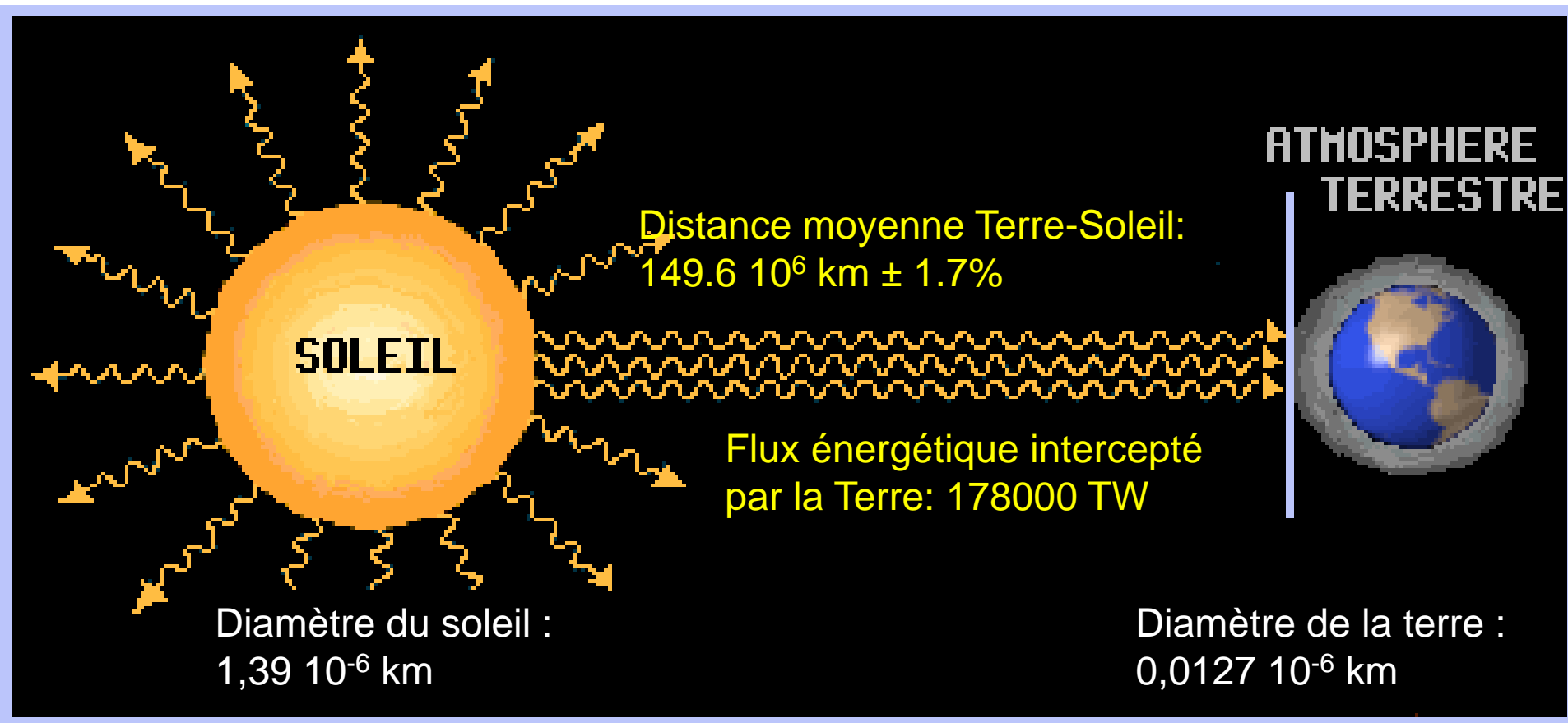
Hémisphère Nord

- >365.25 jours, orbite elliptique
- Solstice hivers : 21-12 : le + court
- Solstice été : 22-06 : le + long
- Equinoxe: 12h-12h (lever plein E-coucher plein O), 21-03, 21-09

Angle normal-axe de rotation de 23.27° à l'origine de la durée des jours et des nuits, des climats...

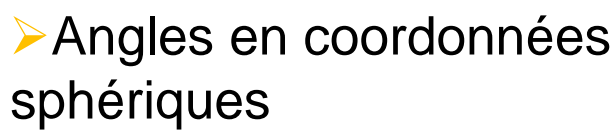




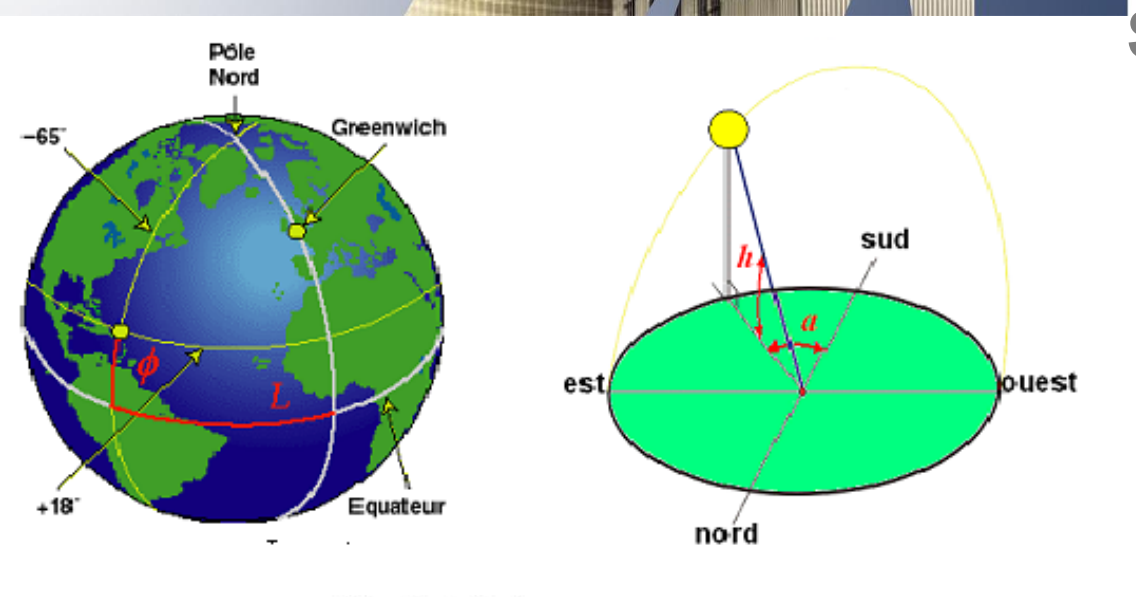


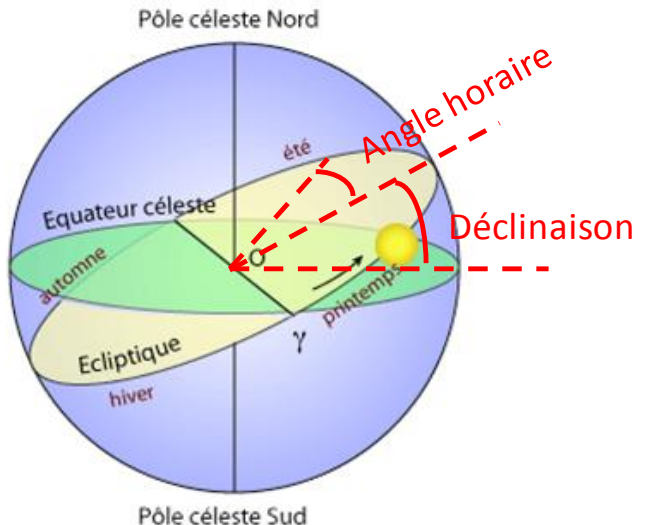
Puissance moyenne reçue à l'entrée de l'atmosphère : Constante solaire moyenne :1353 W.m<sup>-2</sup>

Site terrestre : Latitude, Longitude

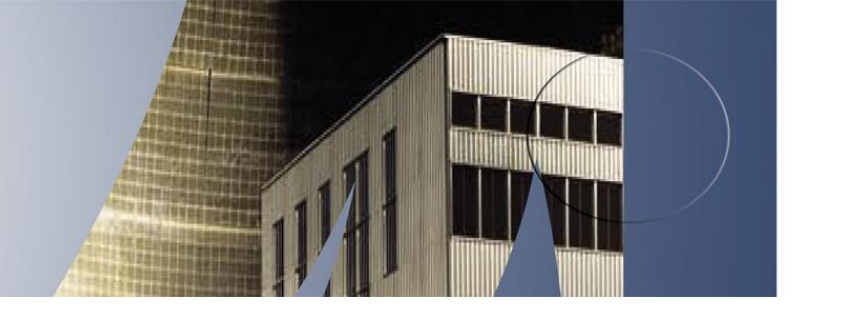


Azimut (a)+ Elevation (h)





- ▶La déclinaison : -23.45 à +23.45
- L'angle horaire : 0-360°

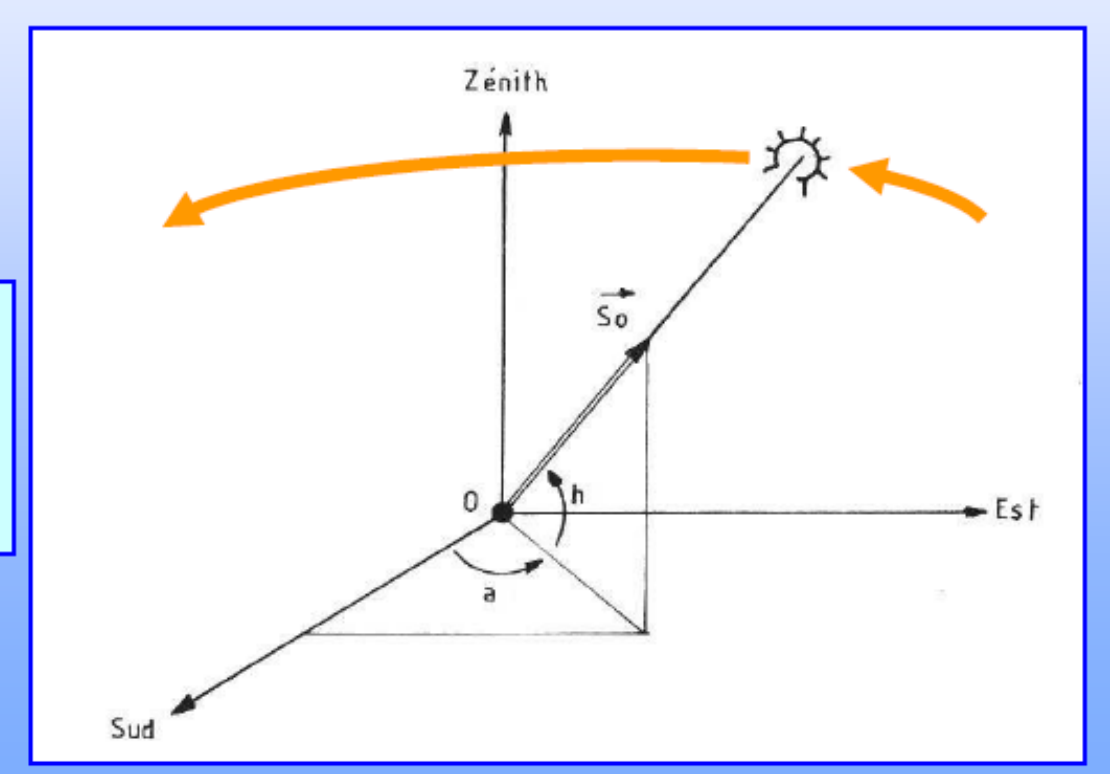


## Position du soleil dans le ciel

Elle est définie par deux angles en hauteur (h) et en azimut
 (a) qui dépendent de la localisation géographique du lieu

d'observation

 $\overrightarrow{S}_{0} \begin{cases} Cos \ a \ Cos \ h \\ Sin \ a \ Cos \ h \\ Sin \ h \end{cases}$ 





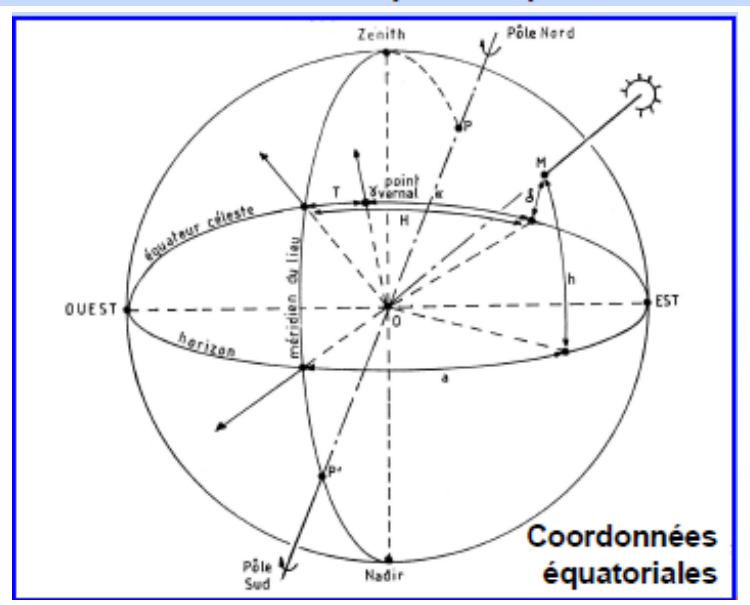
### **Azimut et Elévation**

Les angles a et h sont calculés par des relations astronomiques classiques:

- Sin(h) = Sin(
$$\phi$$
) Sin( $\delta$ ) + Cos( $\phi$ ) Cos( $\delta$ ) Cos( $\alpha$ -T)

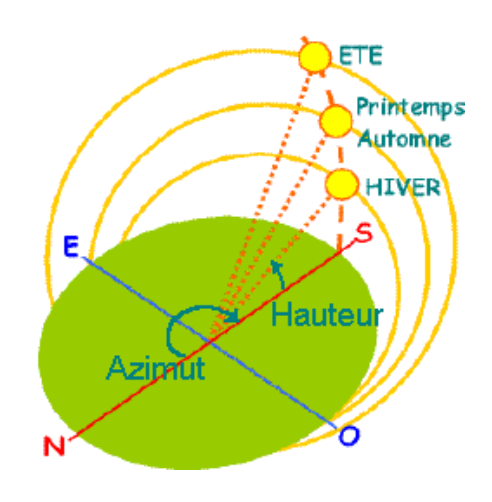
- Sin(a) = Cos( $\delta$ ) Sin( $\alpha$ -T) / Cos(h)

- δ Déclinaison céleste
- α Ascension droite
- T Temps Sidéral
- Mais il faut y introduire de nombreuses corrections: précession des équinoxes, nutation, réfraction atmosphérique, effets relativistes...



Source: F. Hénault, IPAG 2014

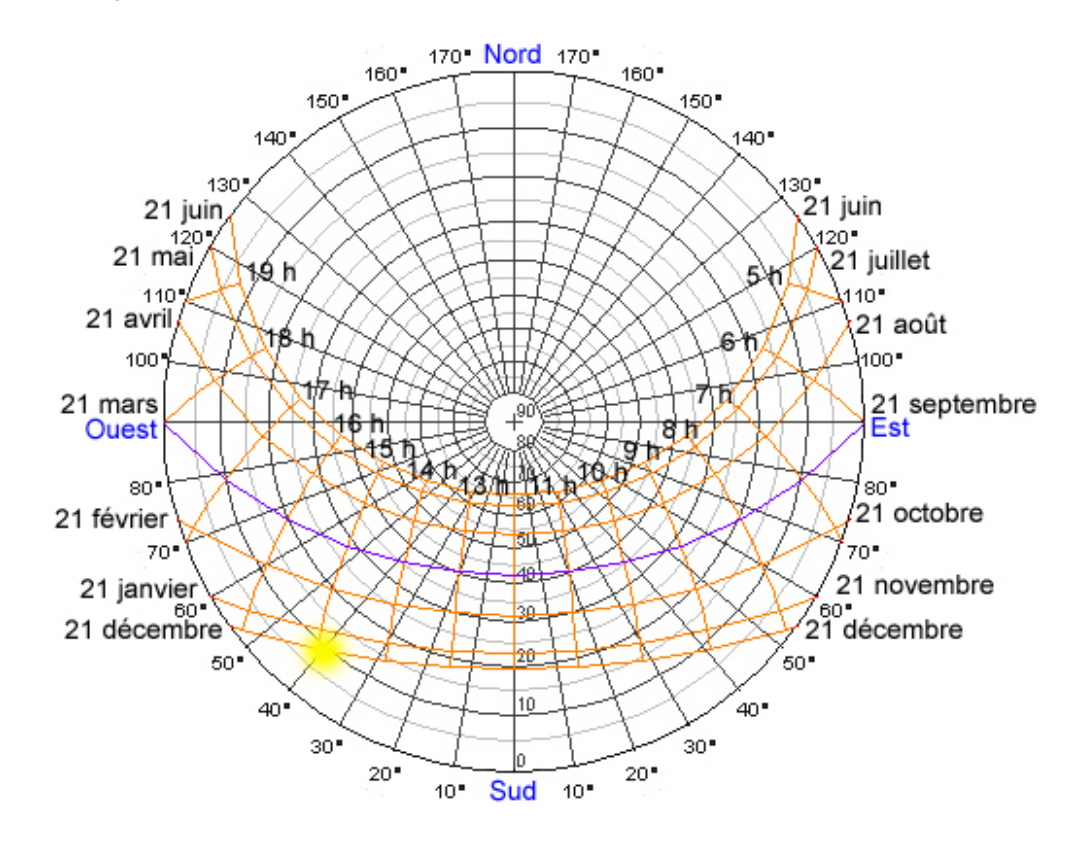




Exemple le 21 décembre à 15h :

- ➤ Hauteur du soleil = 10°
- > Azimut = 40° ouest

Diagramme valable pour un point du globe Cercles concentriques = hauteur solaire Rayons = azimut solaire



#### Atténuation atmosphérique du rayonnement

- -Absorption H<sub>2</sub>0 : 10%
- -Absorption autres: 6%
- -Diffusion par les molécules et les particules
  - → composante directe et diffuse du

rayonnement solaire :  $E_G = E_{dir} + E_{dif}$ 

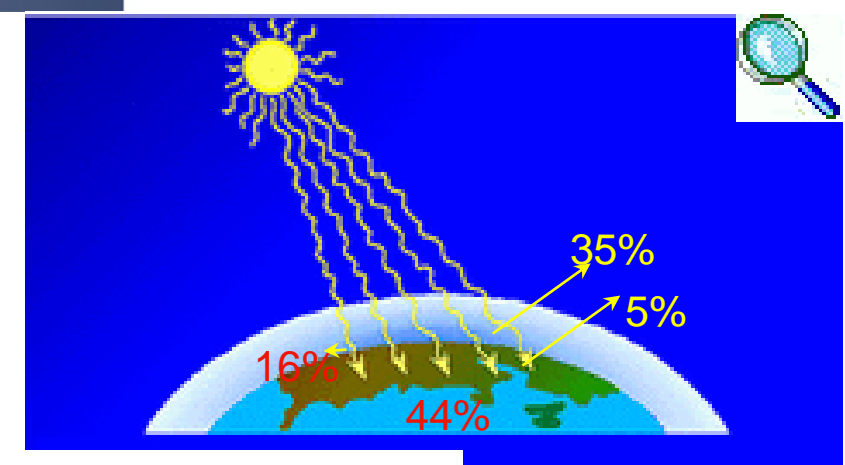
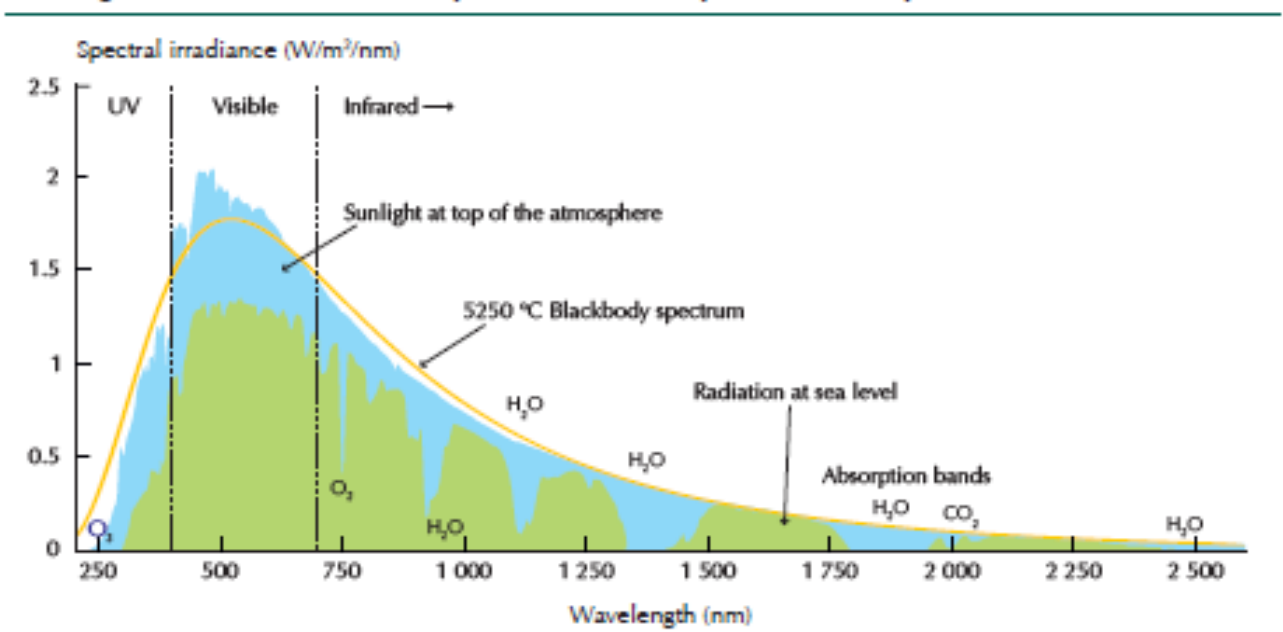
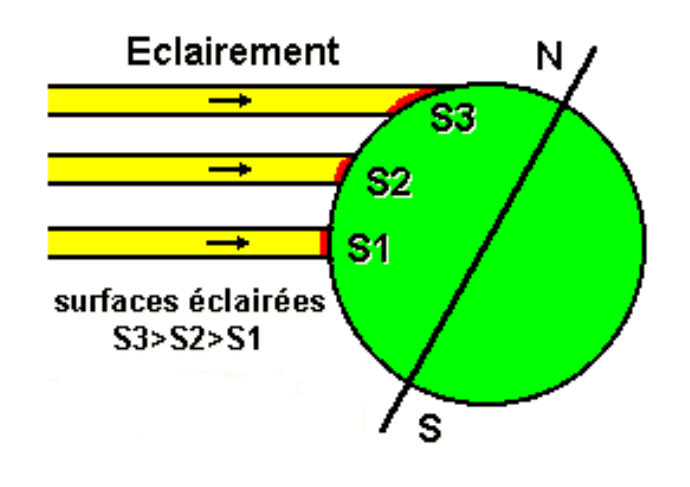


Figure 2.6 Solar radiation spectrum at the top of the atmosphere and at sea level

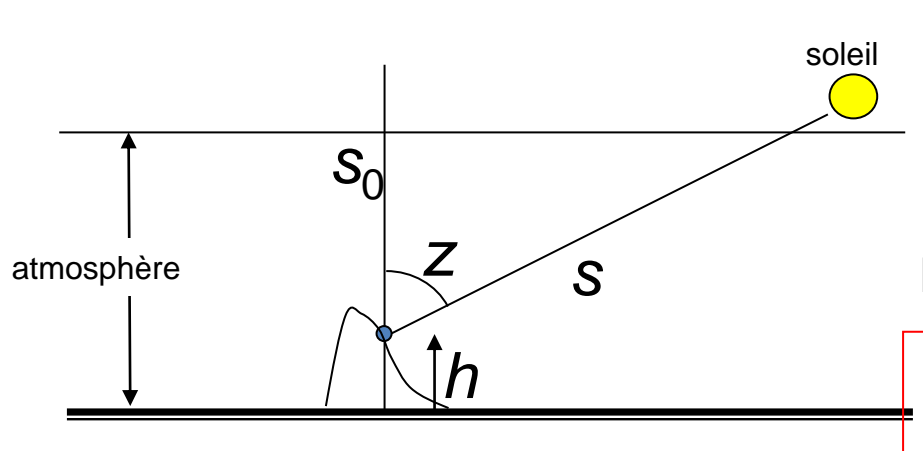




### Inclinaison/Atténuation



Même puissance répartie sur une plus grande surface



$$\partial I = -\kappa I \, \partial s$$

$$I = I_0 \, e^{-\kappa s}$$

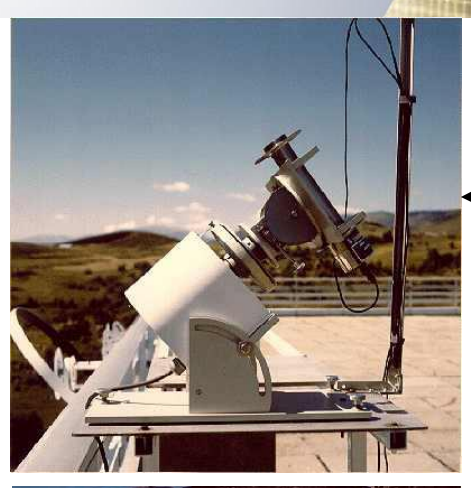
Flux solaire direct normal:

$$I(z,h) = I_0(1-ah) e^{-0.357 S^{0.678}} + ahI_0$$

$$a = 0.14 km^{-1}$$



# Mesure du rayonnement incident



## Pyrhéliomètre → direct normal ouverture 5° 43 ' (disque solaire + circumsolaire) domaine spectral: 0,3 - 4 µm



## Pyranomètre → global horizontal ou diffus horizontal

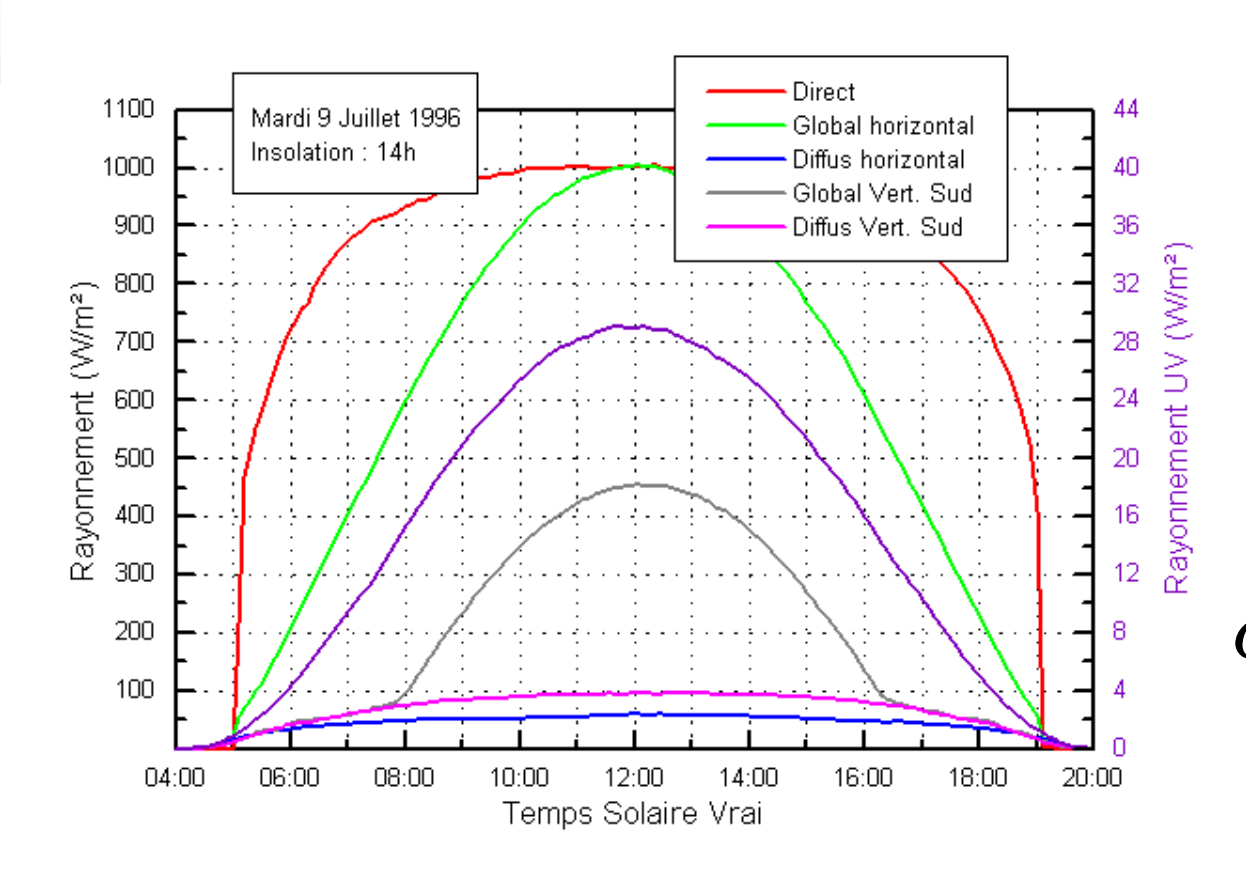
domaine spectral: 0,3 - 2,8 µm

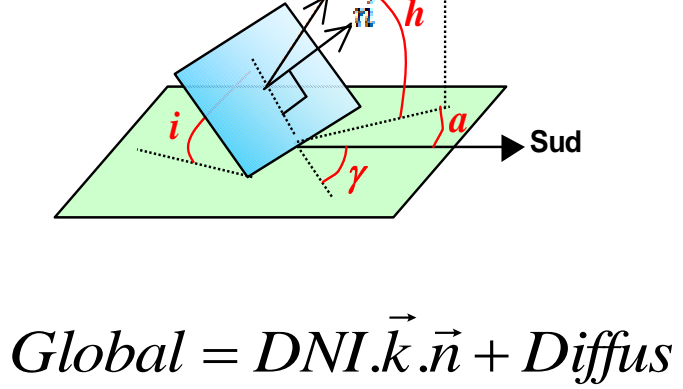
Pyrgéomètre → rayonnement IR domaine spectral: 3,5 - 100 µm

**Données satellites**(Global Irradiation System)



## Mesure du rayonnement





**Effet cosinus** 

DN

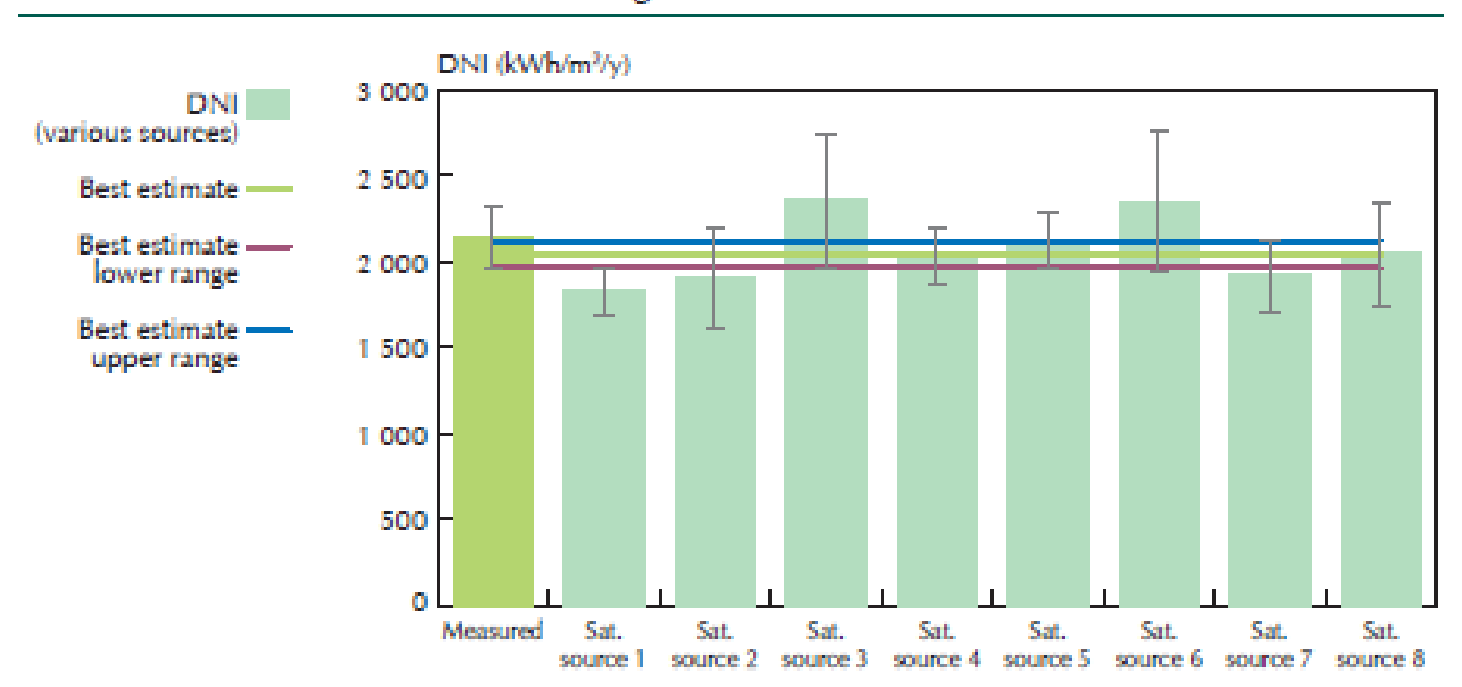
- > FAIRE TRES ATTENTION AUX DONNEES
- Exemple : L'ensoleillement direct est supérieur au global horizontal !
- > DNI: Direct NORMAL Irradiance, GHI: Global HORIZONTAL Irradiance



## Mesure du rayonnement

### Satellite / Mesures au sol

Figure 2.12 Comparison of satellite data sources with best estimate from on-ground measurement



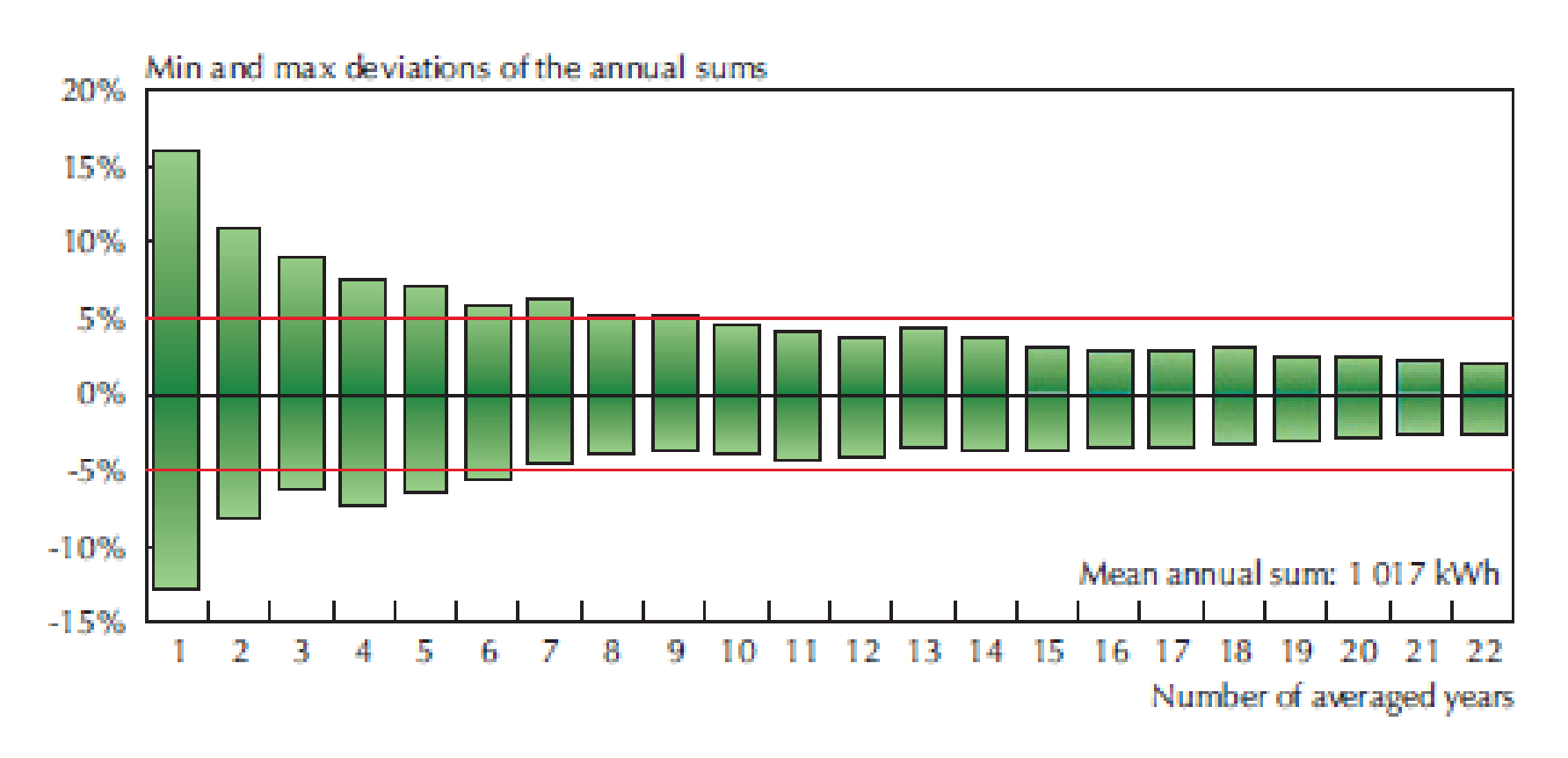
> Mesures au sol indispensables

Source: IEA Solar Energy Perspectives 2011



## Mesure du rayonnement

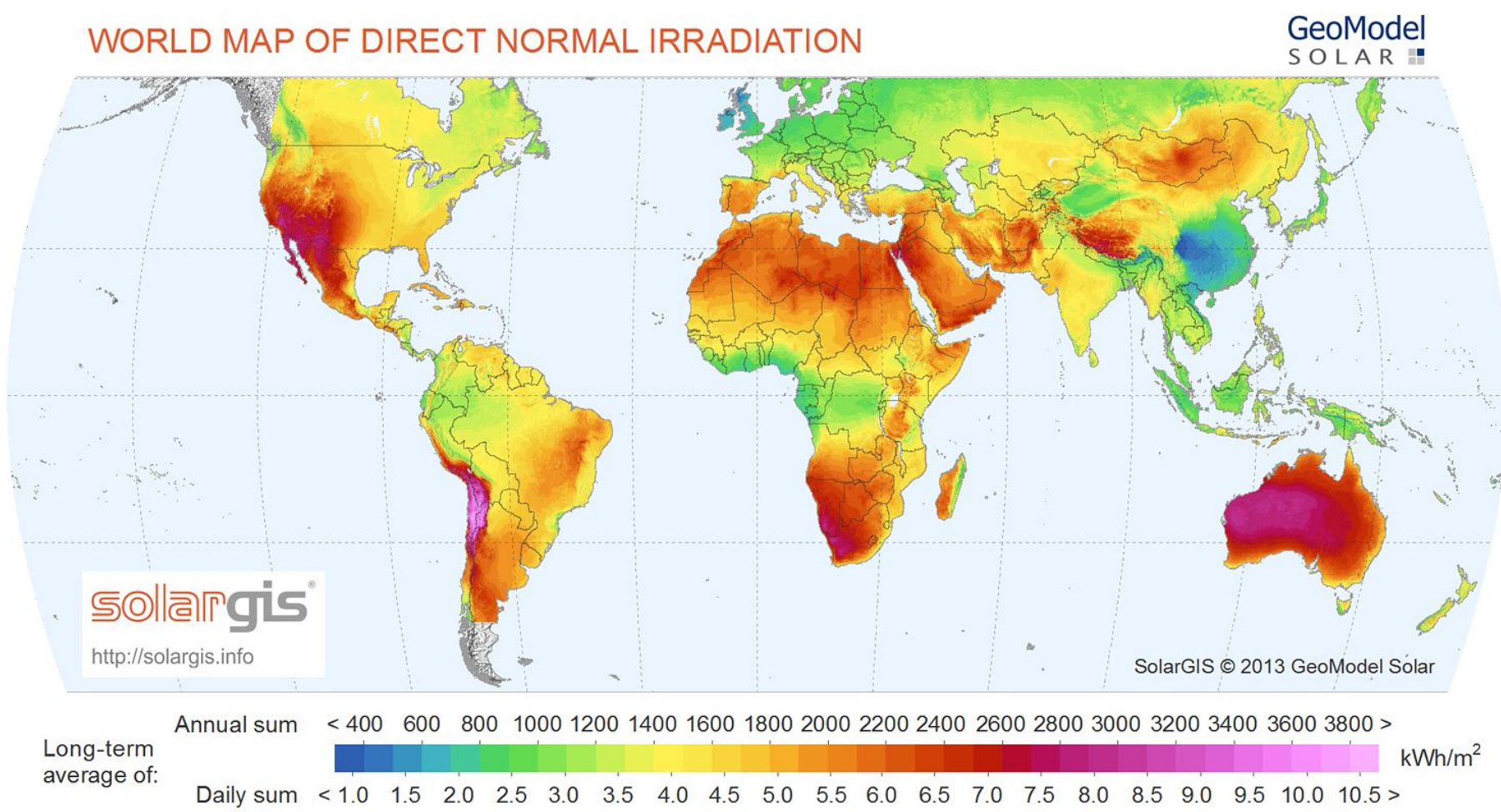
Année type

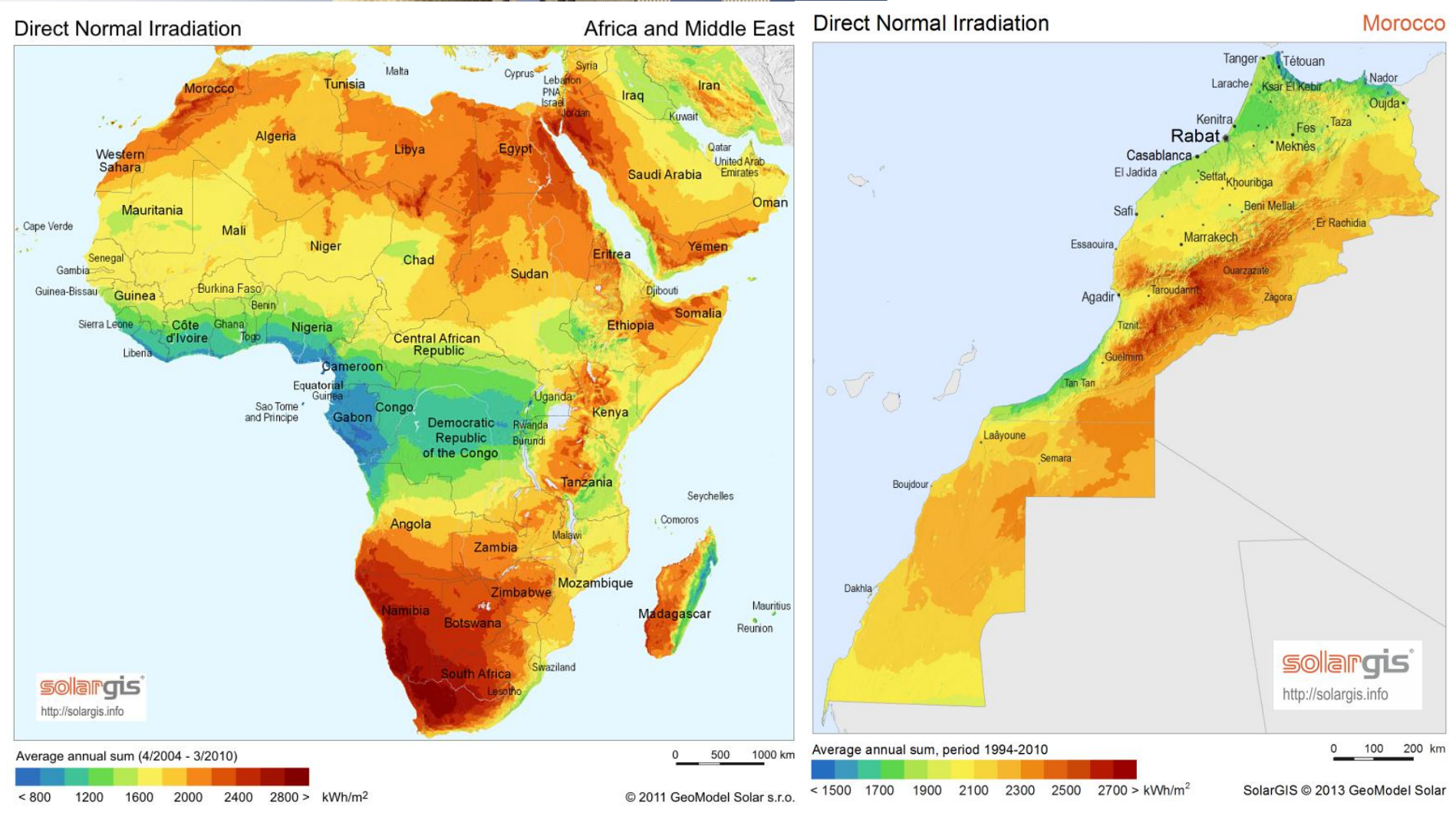


> Mesures sur de longues périodes pour obtenir une valeur moyenne

Source: IEA Solar Energy Perspectives 2011

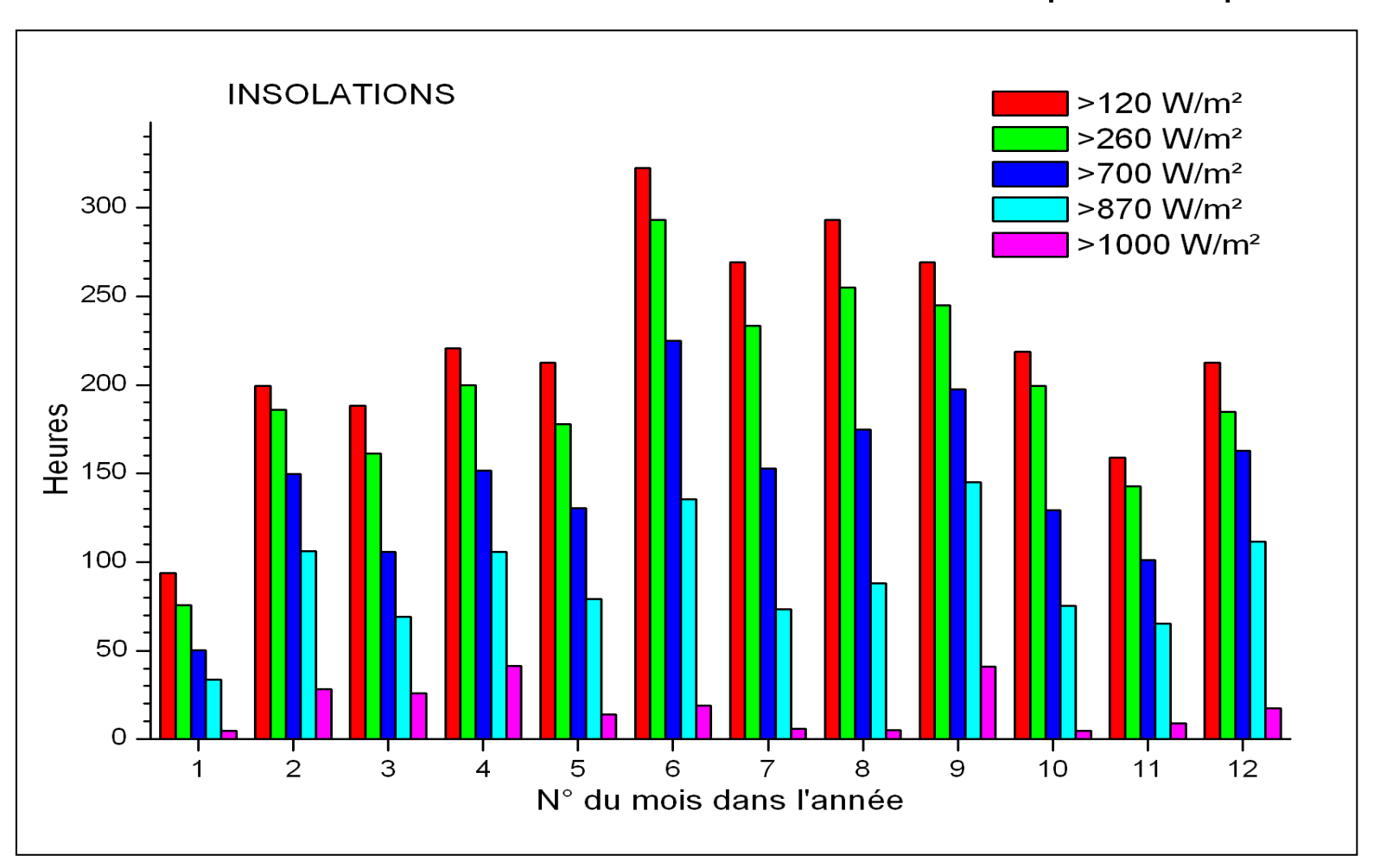








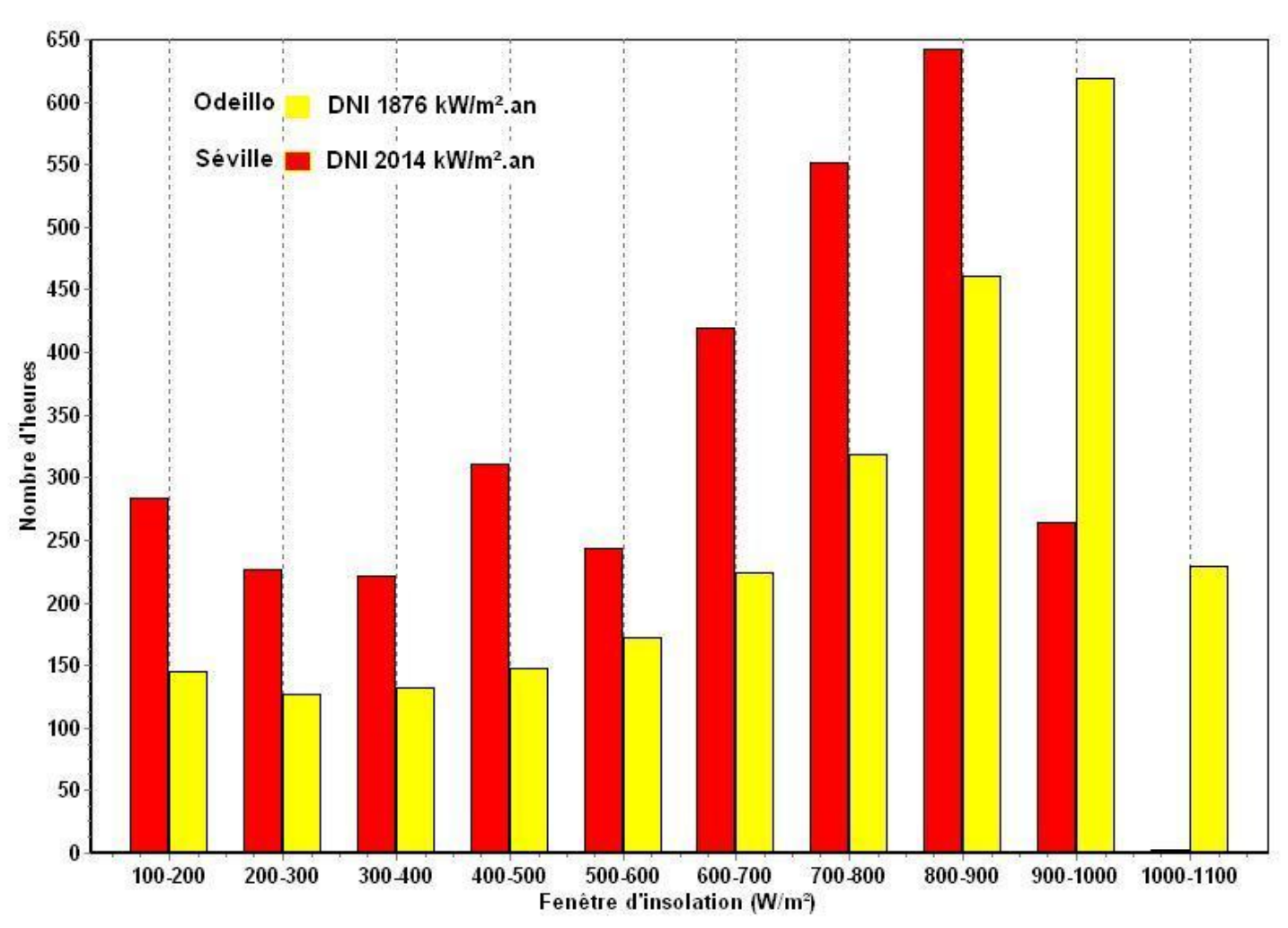
### Répartition par seuils





Répartition par seuils

Important pour le dimensionnement



# La concentration du rayonnement solaire



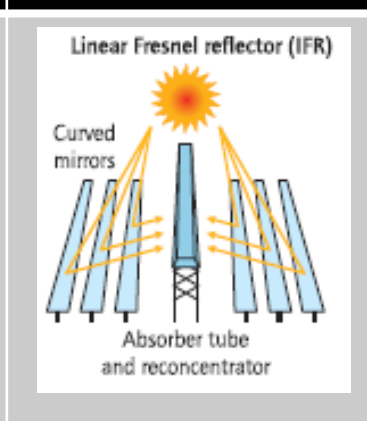
## Technologies de concentration

Concentration Réception

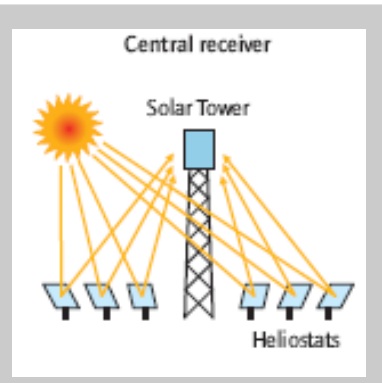
Linéaire (30-100 soleils)
300°C-500°C

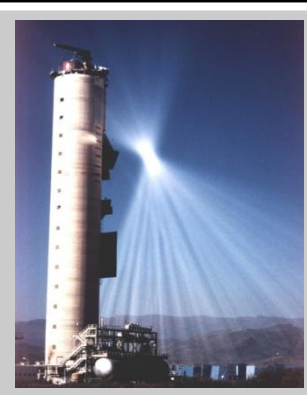
Ponctuelle (500-10 000 soleils) 500°C-1500°C



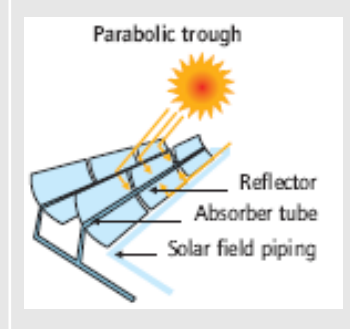








#### Mobile











## Eclairement solaire

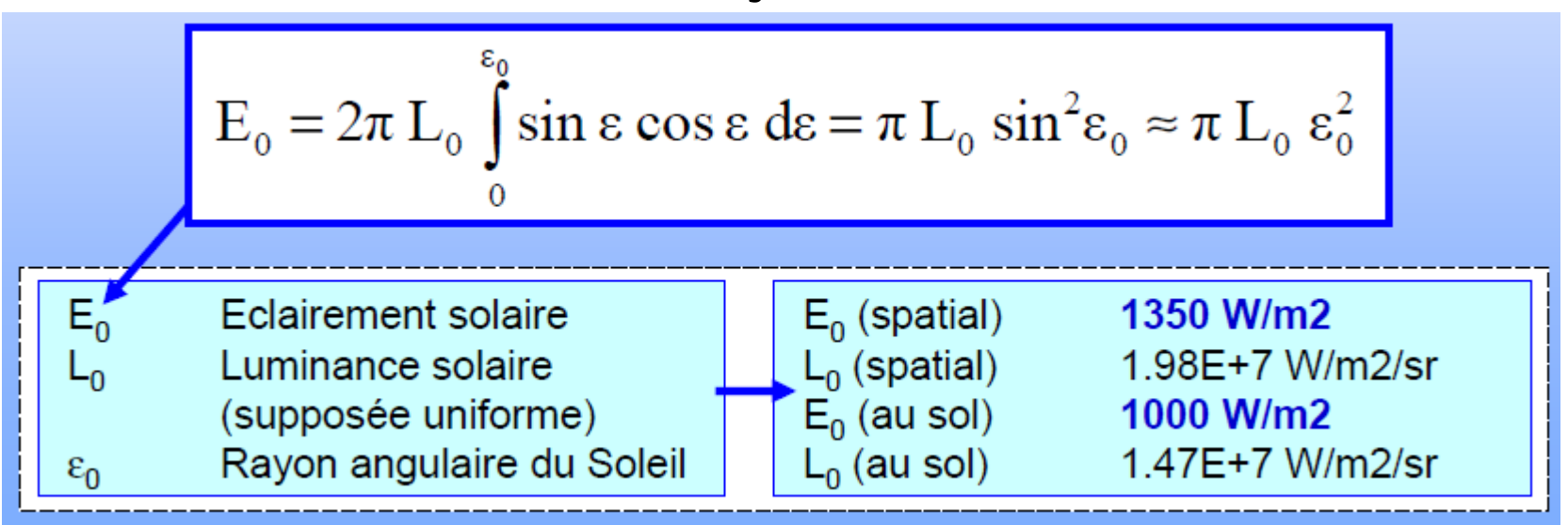
Le soleil nous apparait comme un disque de rayon

angulaire:

$$\varepsilon_0$$
 = 16 ± 0.3 minutes d'arc

• L'éclairement solaire reçu au niveau de la terre s'écrit:

terrestre

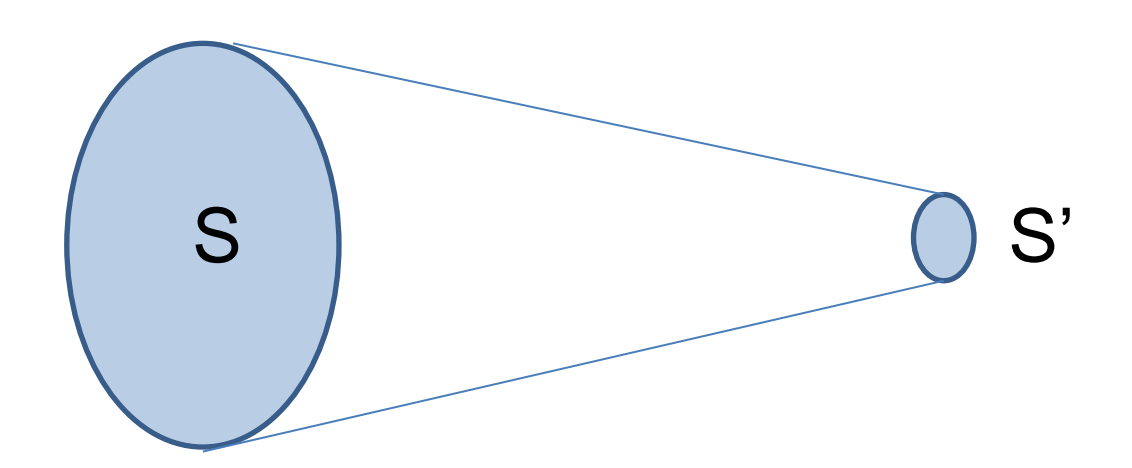


$$L_{\lambda} = \frac{2hc_{\lambda}^{2}}{\lambda^{5}} \frac{1}{\exp\left(\frac{hc_{\lambda}}{k\lambda T}\right) - 1}$$



## Concentration : Définition

 Le facteur de concentration moyen C peut être défini comme le rapport des surfaces collectrice S et réceptrice S': C = S/S'

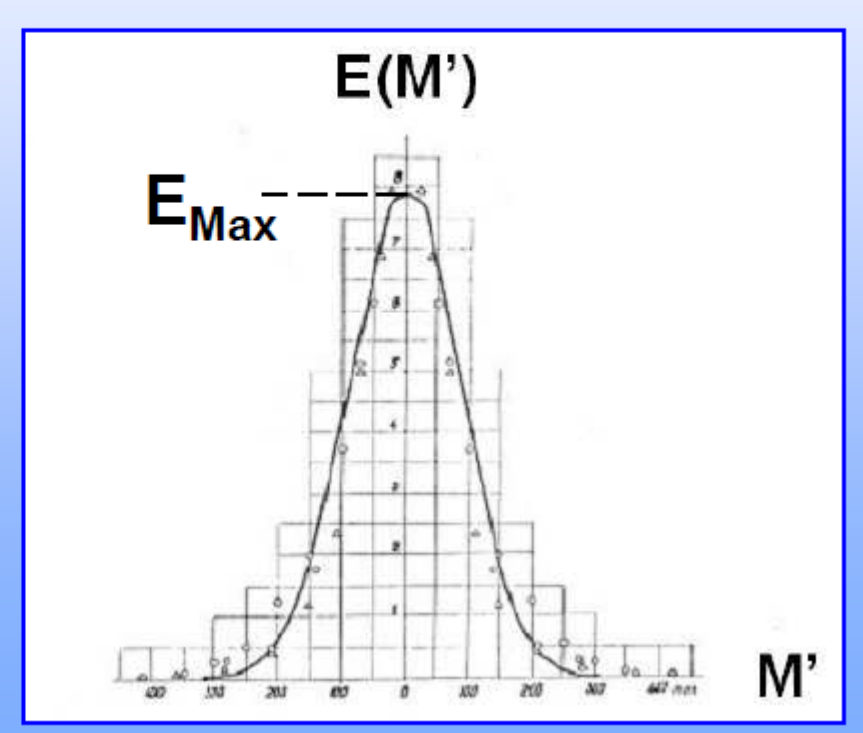




## Concentration : Définition

- En réalité, le facteur de concentration C est proportionnel à l'éclairement E(M'), variable en fonction de la position du point d'observation M' dans le volume focal
- Il est préférable de définir C comme le rapport de l'éclairement maximal dans le volume focal E<sub>Max</sub> à la constante solaire E<sub>0</sub>

$$C = E_{\text{Max}} / E_0$$

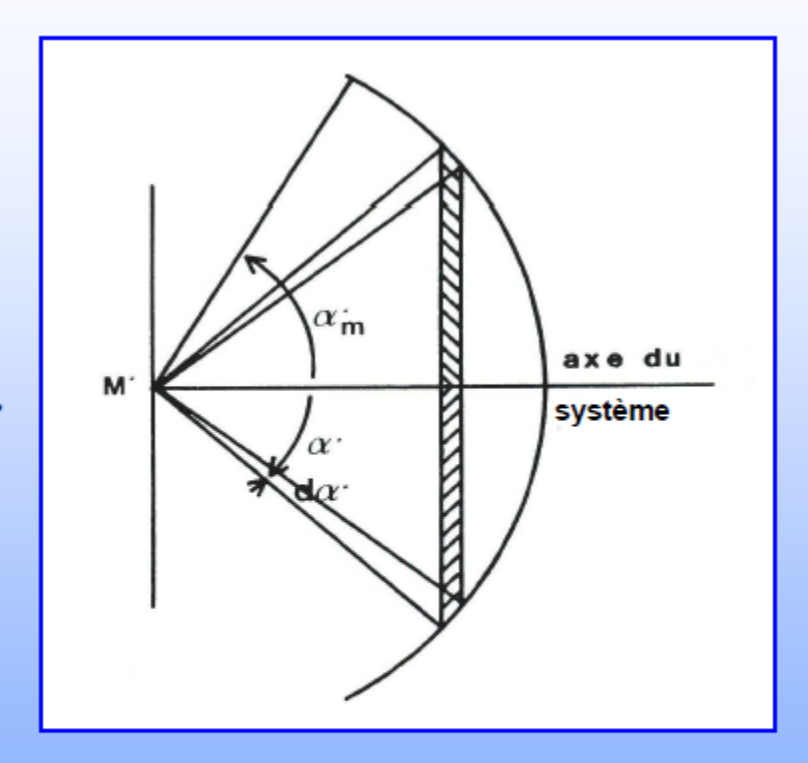




### Concentration Maximale

### Paraboloïde de révolution

 Calculons E<sub>Max</sub> au foyer d'un système concentrateur d'énergie solaire d'ouverture angulaire α'<sub>m</sub> (sans tenir compte du facteur T<sub>A</sub> puisqu'il s'élimine dans l'expression finale de C)



$$E_{\text{Max}} = 2\pi L_0 \int_0^{\alpha'_{\text{m}}} \sin \alpha' \cos \alpha' d\alpha' = \pi L_0 \sin^2 \alpha'_{\text{m}}$$



### Concentration Maximale

Ce qui nous donne finalement:

$$C \approx \sin^2 \alpha'_{\rm m} / \epsilon_0^2$$

 Application numérique: Avec ε<sub>0</sub> = 16 minutes d'arc et une ouverture maximale α'<sub>m</sub> = 90 degrés, on obtient:

F. Trombe, A. Le Phat Vinh, in Cahiers de l'AFEDES n<sup>3</sup> (1971)

• Généralisons la formule en appliquant la loi de conservation de l'étendue géométrique:  $C \approx n^2 \sin^2 \! \alpha'_m / \epsilon_0^2$ 

où n est l'indice de réfraction du milieu image Welford & Winston, The optics of non imaging concentrators (1978)

Source: F. Hénault, IPAG 2014



### Concentration/ Température maximales

 La loi de Stefan-Boltzmann permet d'associer la température T d'un corps noir (ou gris) à l'éclairement reçu:

$$\sigma T^4 = \varepsilon E_{\text{Max}} = \varepsilon C E_0$$

où ε est l'émissivité du corps gris (ε = 1 pour un corps noir) et  $\sigma$  la constante de Stefan-Boltzmann égale à 5.67 10<sup>-8</sup> W/m<sup>2</sup>/K<sup>4</sup>

 On en déduit la température maximale atteignable au foyer d'un concentrateur solaire:

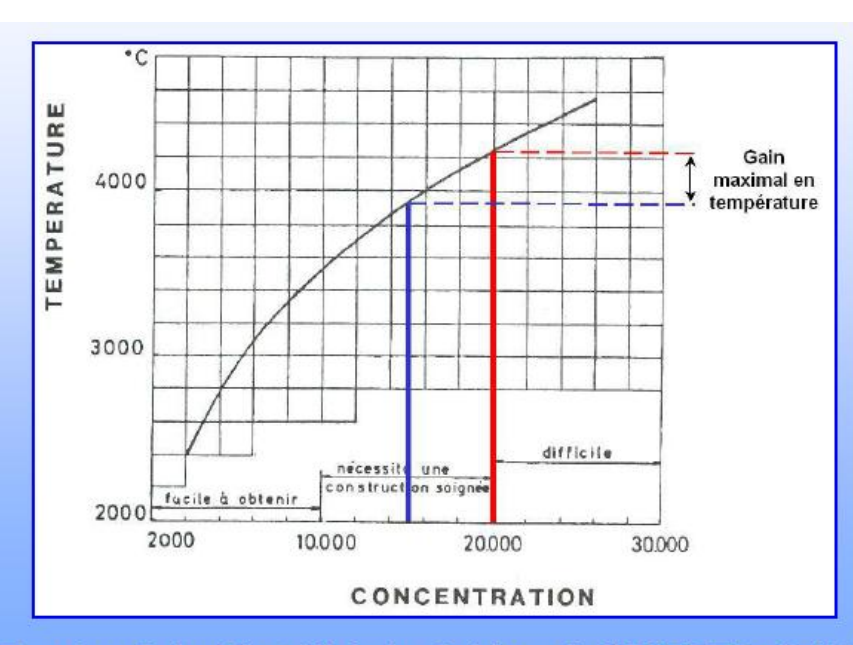
$$T = \sqrt[4]{\frac{\varepsilon C E_0}{\sigma}}$$



### Concentration/ Température maximales

### Émissivité $\varepsilon = 1$

Facteur de concentration	T (K)	T (℃)
0	0	-273
1	364	91
2	433	160
5	545	272
10	648	375
20	771	498
50	969	696
100	1152	879
200	1370	1097
500	1723	1450
1000	2049	1776
2000	2437	2164
5000	3064	2791
10000	3644	3371
20000	4334	4061
50000	5449	5176



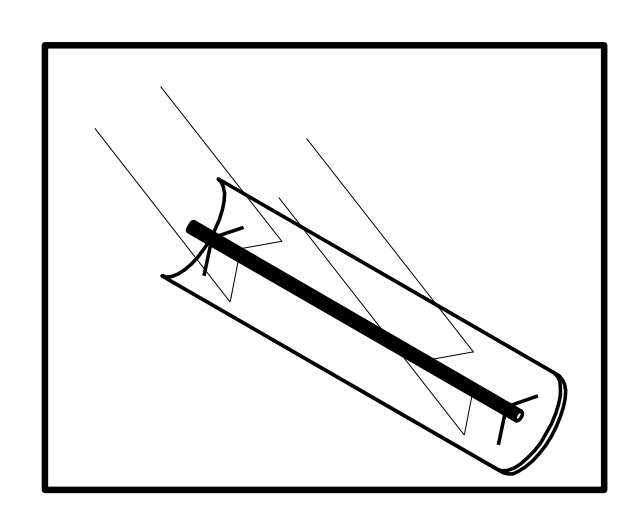
F. Trombe, A. Le Phat Vinh, in Cahiers de l'AFEDES n°3 (1971)

Source: F. Hénault, IPAG 2014



# Concentration Maximale Cylindro-parabolique

 $C_{\rm m} = \sin \alpha / \epsilon_{\rm o}$ 

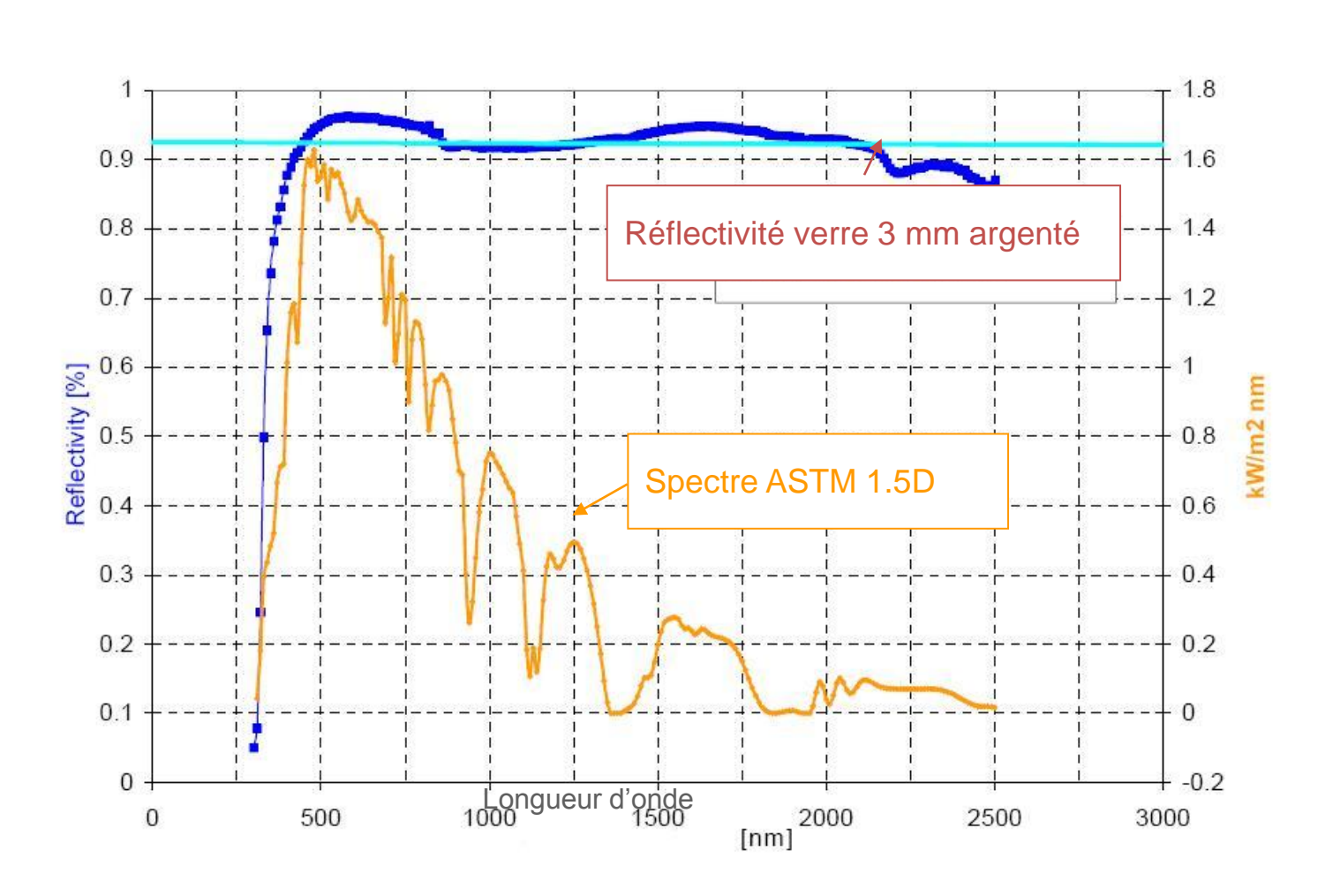




Pour  $\alpha = \pi/2$ 

 $C_q = 1/0,00465 = 215$ , concentration maximale pour un CP

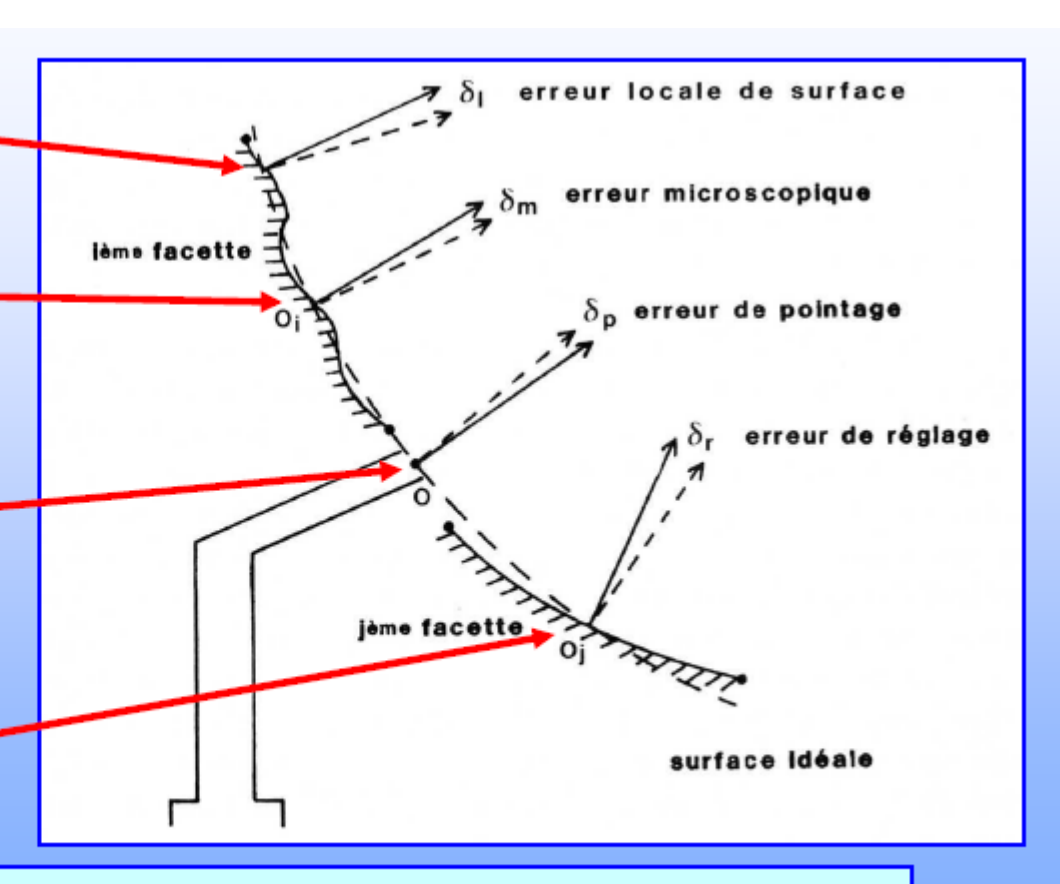
### Réflectivité





### **Défauts / Erreurs**

- δ<sub>I</sub> erreurs locales de surface
- δ<sub>m</sub> erreurs microscomiques de surface (rugosité)
- δ<sub>p</sub> erreur de pointage global d'un héliostat
- δ<sub>r</sub> erreur de réglage d'un segment ou module individuel —

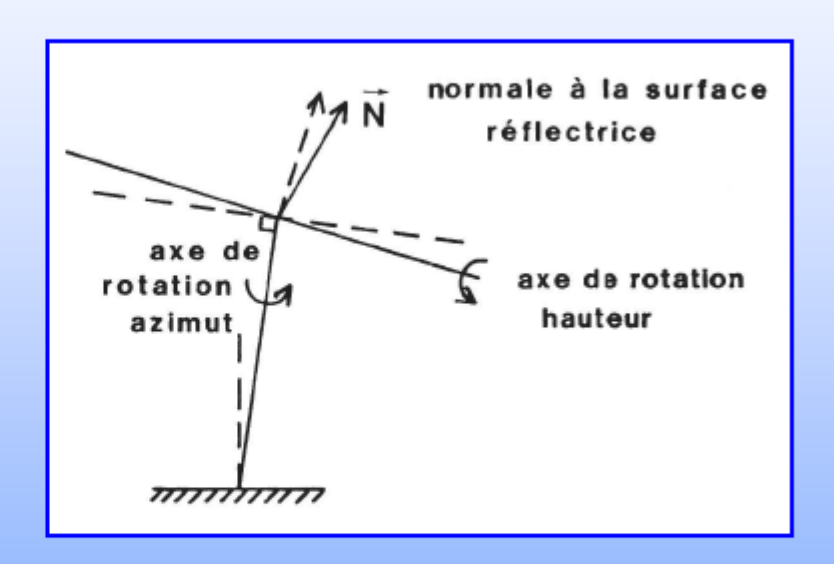


Note: Les erreurs microscopiques  $\delta_{\rm m}$  produisent essentiellement de la diffusion et sont comptées dans le facteur de réflexion global



### Erreurs de pointage

- Cas typique d'une monture altazimutale pilotée en boucle ouverte avec diverses causes d'erreurs
  - Incertitude géométrie
     Soleil / héliostat /
     chaudière
  - Verticalité de l'axe de rotation Az
  - Perpendicularité des axes Alt-Az
  - Précision des codeurs

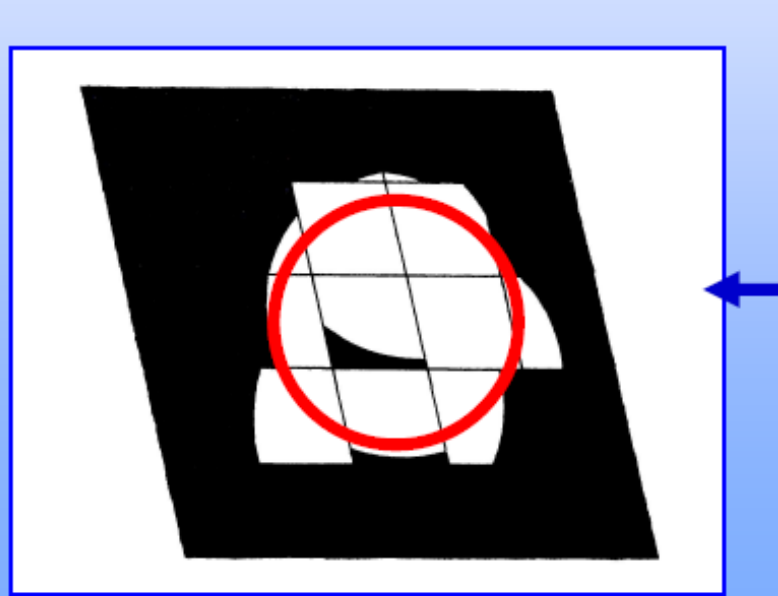


- Certaines de ces erreurs peuvent être compensées par le pilotage informatique
- Au niveau d'un champ d'héliostats complet, ces défauts sont de nature statistique



### Erreurs de réglage

- Erreurs d'alignement entre les différentes facettes ou modules d'un héliostat ou d'un système concentrateur complet
- Il s'agit essentiellement d'erreurs en orientation (les défauts de positionnement suivant les axes X, Y et Z ont une influence négligeable sur le facteur de concentration C)
- Défauts de nature statistique --> Résultent essentiellement des

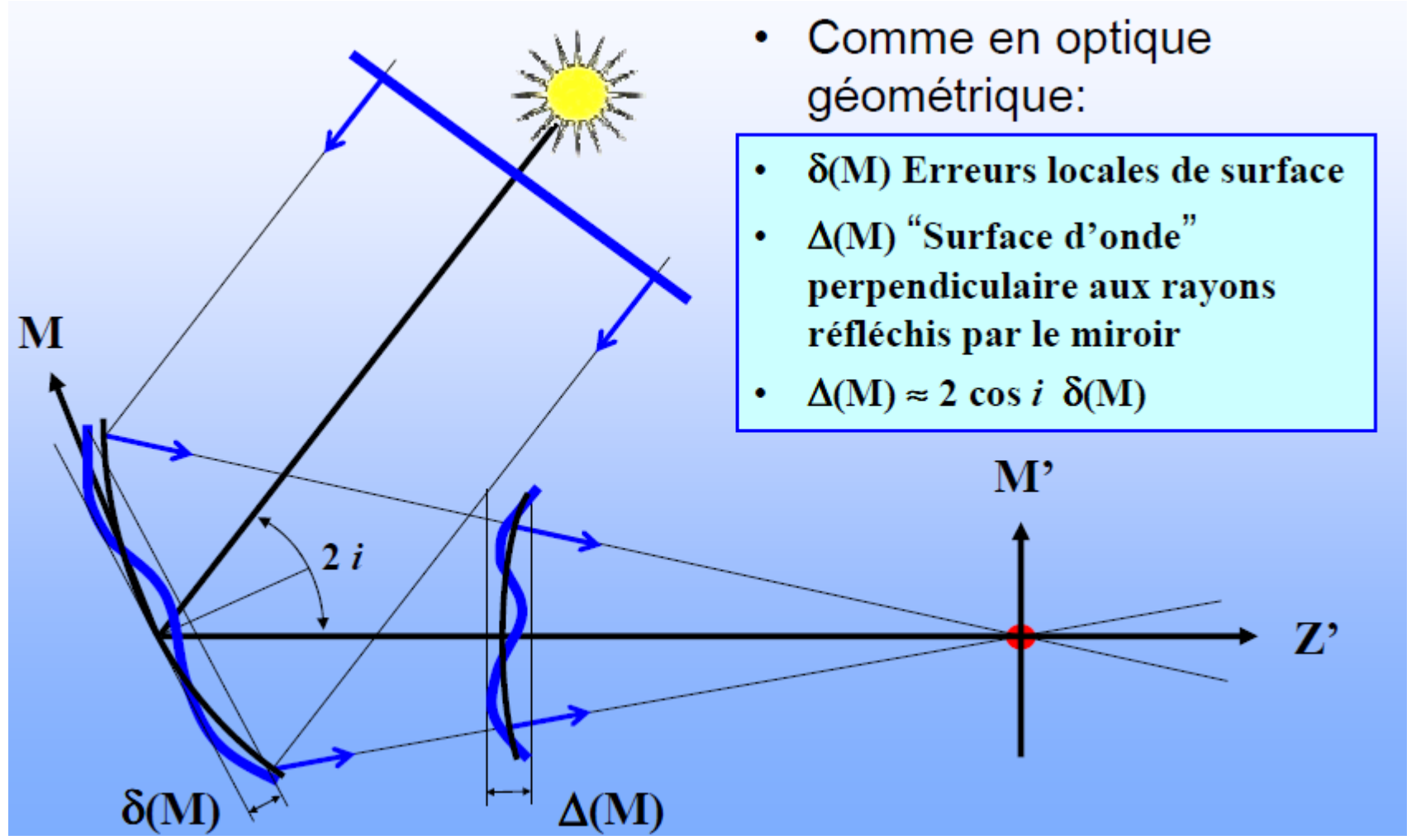


- Résultent essentiellement des procédures de réglage au niveau héliostat ou concentrateur
- Effets de vieillissement possibles (alternances hivers/étés, vents...)

Petite illustration pédagogique L'image du soleil vue à travers un héliostat plan correctement réglé serait délimitée par le cercle rouge. En présence de déréglages, elle en déborde visiblement

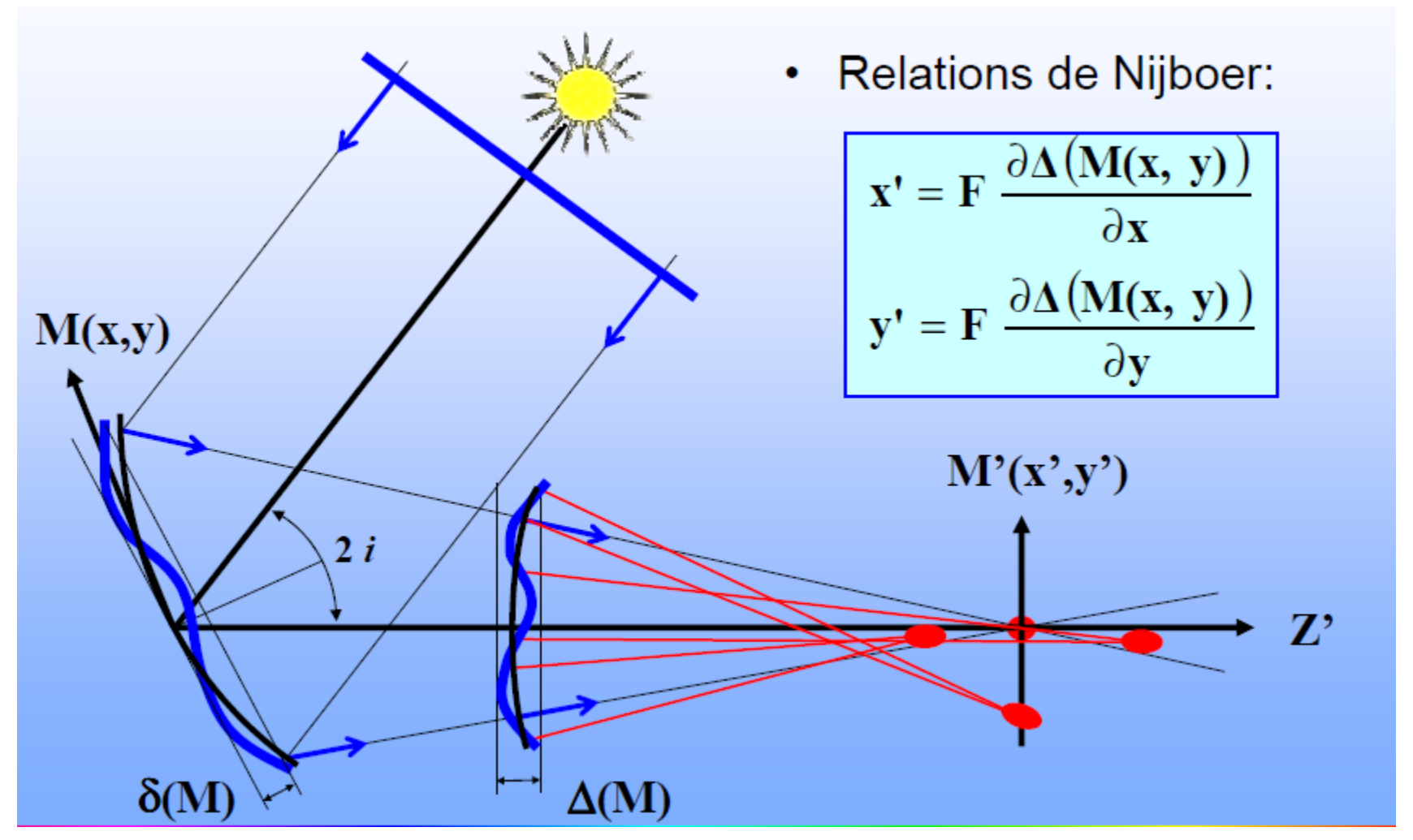


#### Erreurs de surface





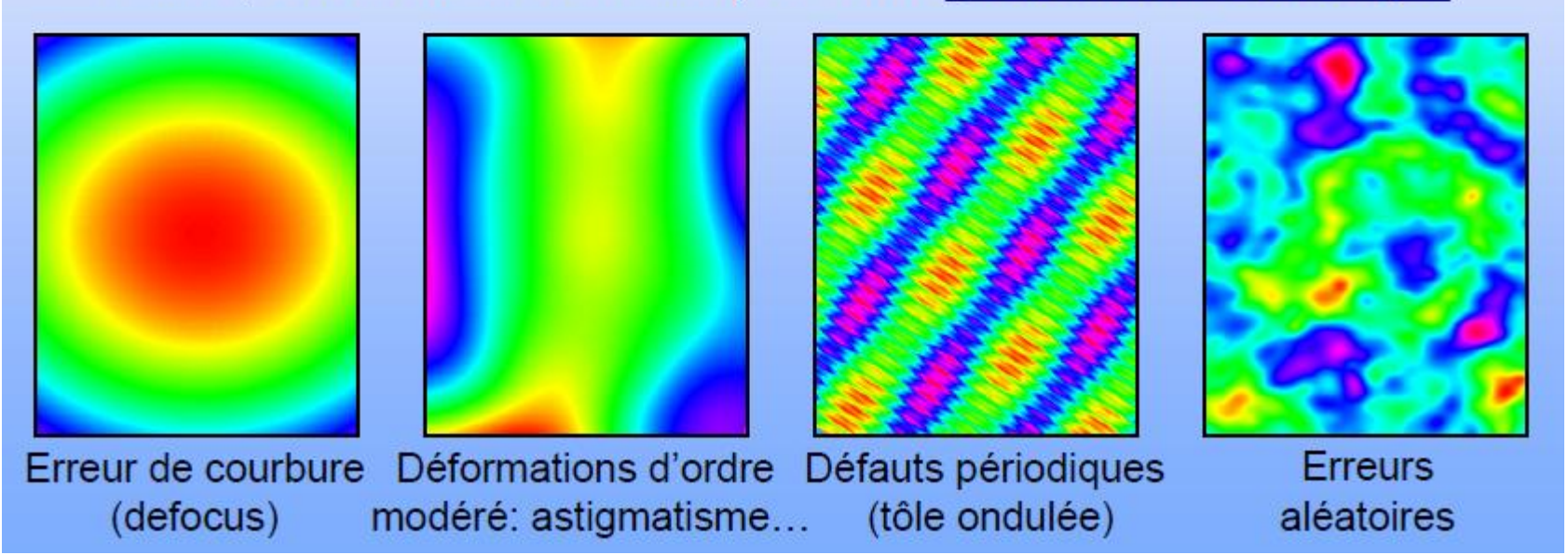
#### Erreurs de surface





### Erreurs de surface

- En dépit des échelles extrêmement différentes (erreurs de l'ordre du mm), les miroirs des concentrateurs solaires suivent les lois de l'optique géométrique "classique"
- Certains types de défauts sont identiques (defocus, astigmatisme), mais ils présentent en plus de fortes erreurs aléatoires
- Toutes ces erreurs peuvent varier considérablement d'un miroir à l'autre, d'où finalement un comportement globalement statistique



Perte de concentration due aux erreurs et défauts



 $1+\delta^2/\epsilon_0^2$ 

Avec

 $\delta = \sqrt{4\,\delta_{\rm L}^2 + 4\,\delta_{\rm R}^2 + \delta_{\rm P}^2}$  Erreurs de pointage Erreurs locales Erreurs de réglage de surface

500

Résultats: la concentration baisse de  $\underline{50\%}$  si  $\delta \approx \epsilon_0$  et de  $\underline{80\%}$  si  $\delta \approx 2\epsilon_0$ 10000 3500 Blackbody Temperature (°C) 3000 Concentrating Ratio 2500 1000 2000 100

RMS error (mrad)

RMS error (mrad)



Perte de concentration due aux erreurs et défauts

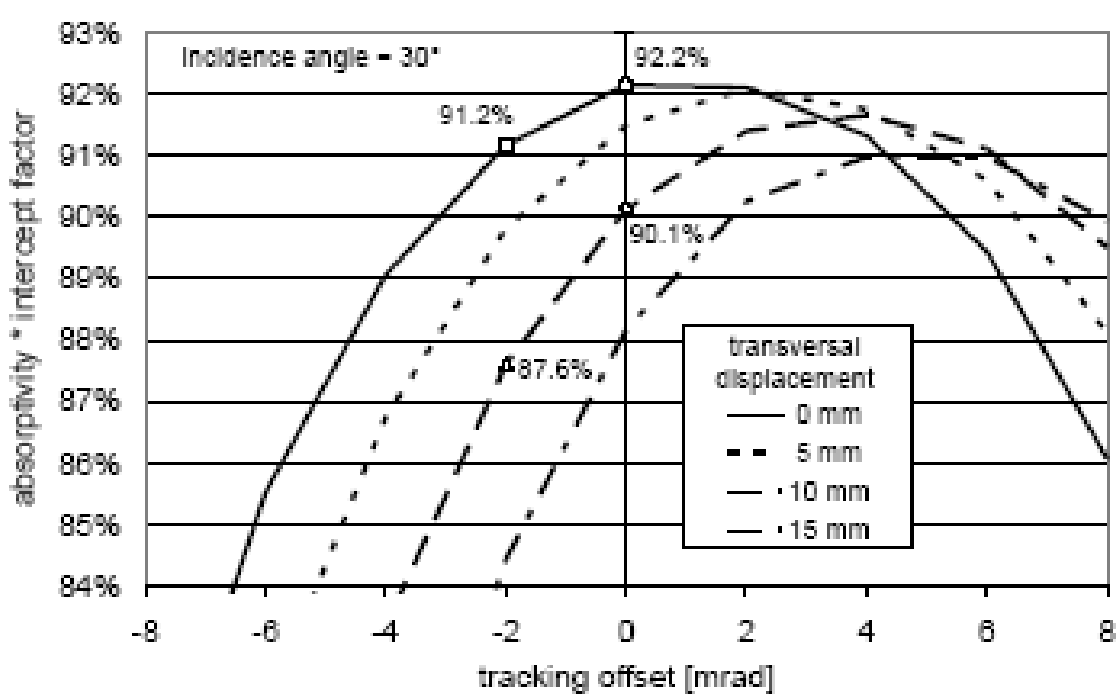


Figure 12: Example for a sensitivity study with parameter variation. The combined influence of tracking offset and a displacement of the absorber on the optical efficiency is shown

Source: DLR



## Logiciels

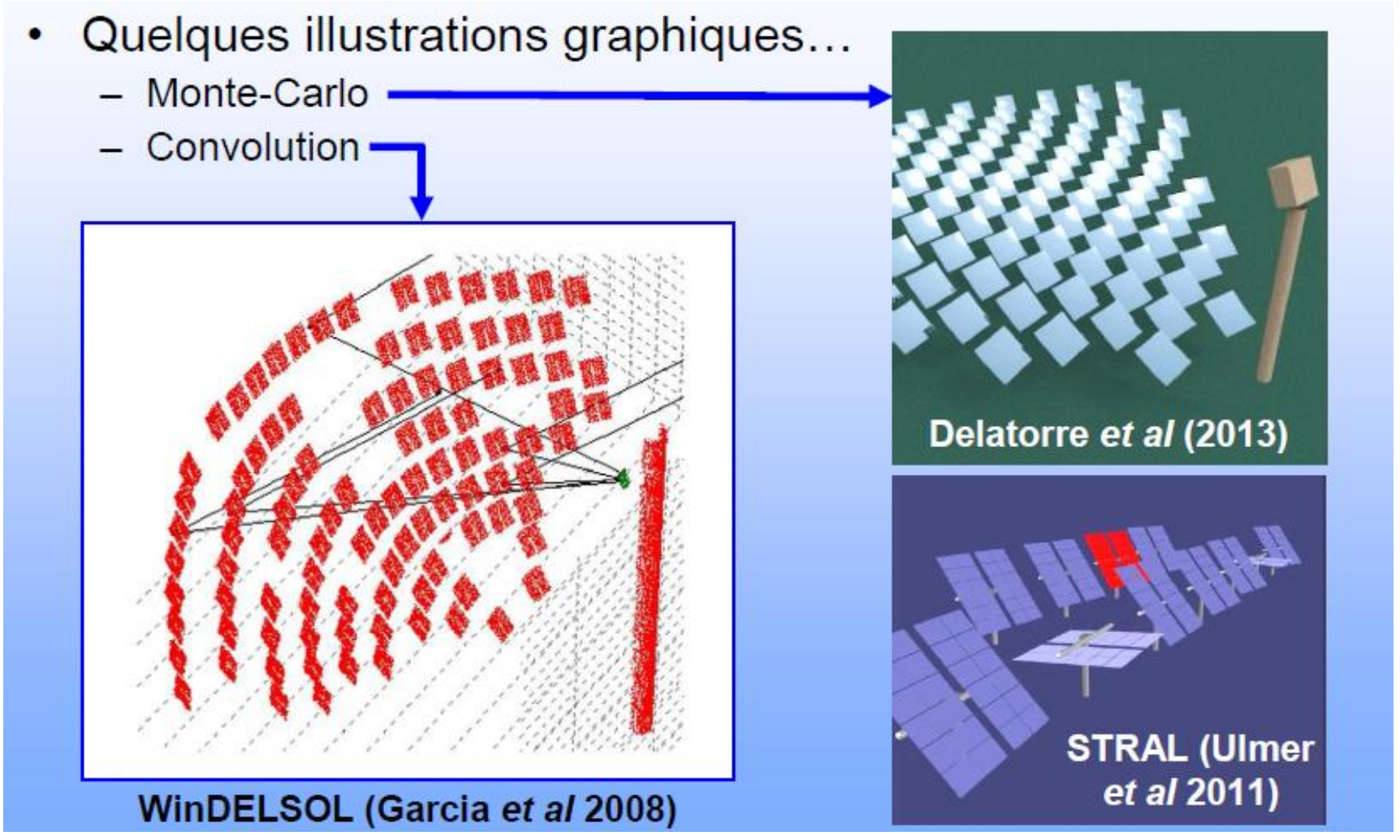
- De nombreux logiciels des deux familles ont été développés par les laboratoires impliqués. Ce sont généralement des logiciels "maison" non commerciaux
- La plupart d'entre eux sont librement accessibles sur Internet, mais le code source n'est pas toujours fourni
- Quelques exemples:
  - Famille nº (Monte-Carlo): MIRVAL (le grand ancêtre), SolTRACE (actuellement utilisé à THEMIS), STRAL (développé par le DLR)...
  - Famille n<sup>2</sup> (convolution): HELIOS (le grand ancêtre), WinDELSOL,
     HFLCAL et ses futures évolutions...

Logiciel MC développé par CNRS-PROMES et HPC-SA: SOLFAST-4D

Source: F. Hénault, IPAG 2014



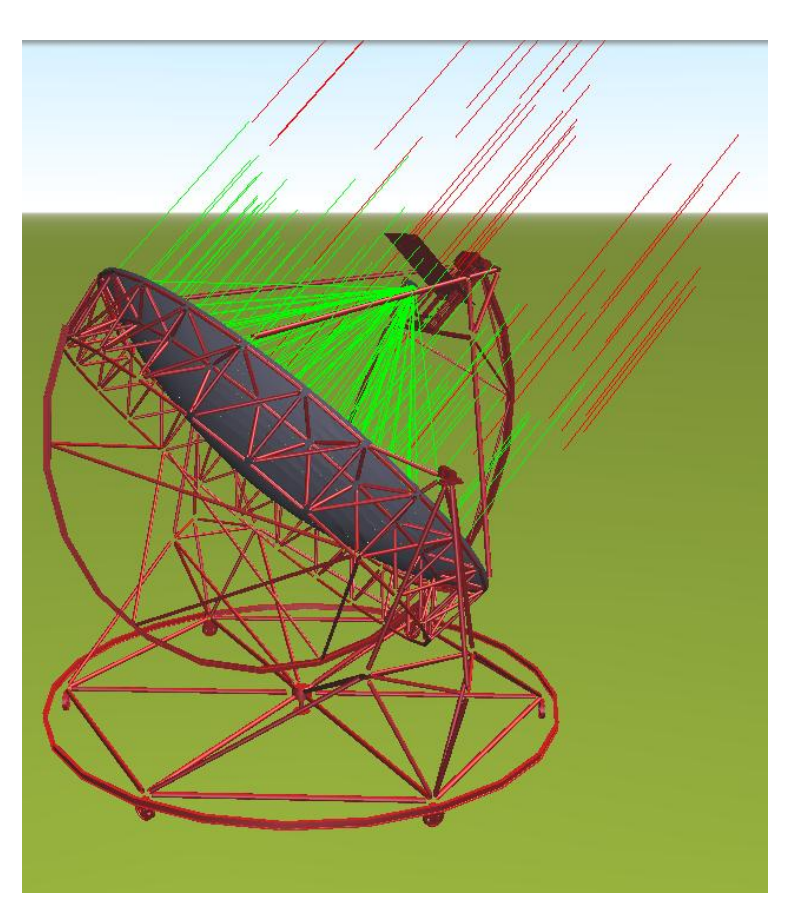
## Logiciels

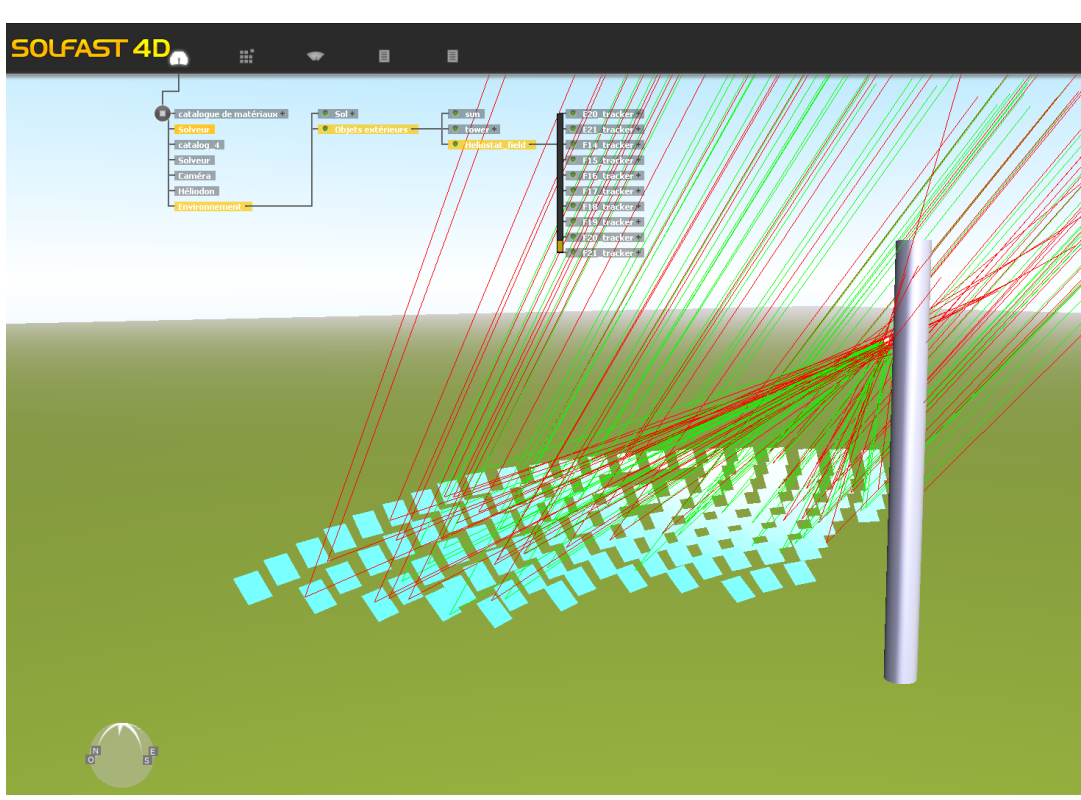


Source: F. Hénault, IPAG 2014



## Logiciels



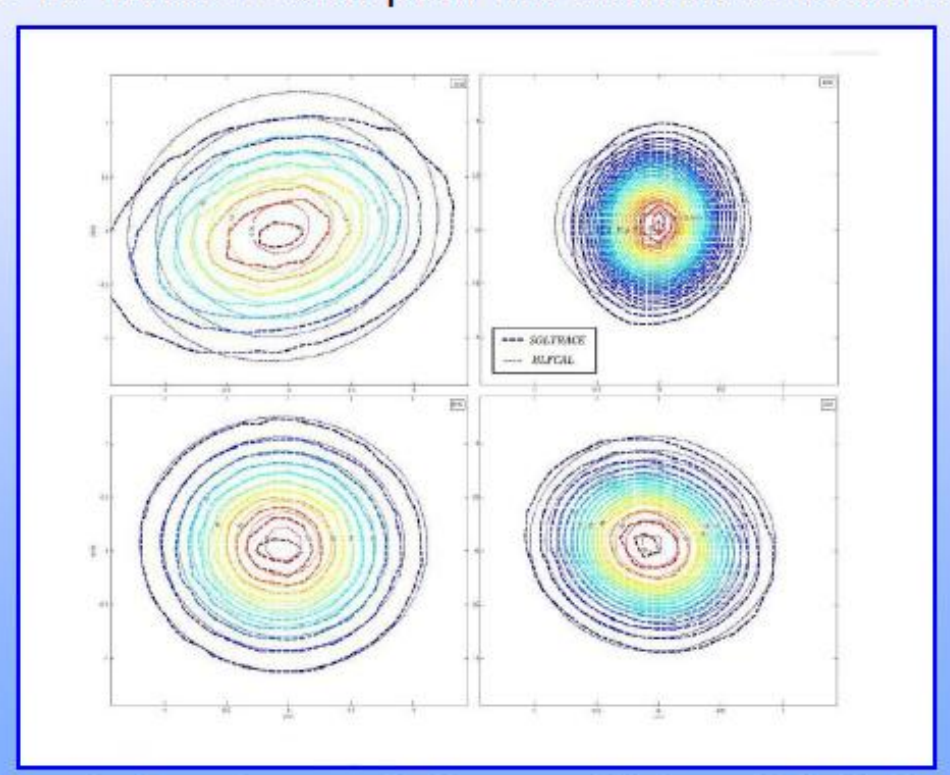


SOLFAST-4D CNRS / HPC-SA



# Comparaison logiciels

 Performances similaires pour les héliostats centraux, mais avantage au modèle de Monte-Carlo pour les héliostats décentrés



A. Salomé, Thèse de Docteur en Sciences, Université de Perpignan (2012)

### Conclusion

- Seule la composante directe (DNI) du rayonnement solaire est valorisée par les systèmes à concentration
- Des valeurs de DNI de 2000 à 3000 kWh/m².an sont propices au développement du CSP
- La concentration théorique maximale pour les concentrateurs ponctuels est de 46 000 environ (15 000 en pratique) et de 215 pour les concentrateurs linéaires
- La simulation des concentrateurs doit prendre en compte les défauts et erreurs géométriques des miroirs

### Merci de votre attention







